



UNC

Universidad  
Nacional  
de Córdoba



MAESTRÍA  
EN ANÁLISIS Y  
PROCESAMIENTO  
DE IMÁGENES



# Tracking

Jorge Sánchez

[jsanchez@famaf.unc.edu.ar](mailto:jsanchez@famaf.unc.edu.ar)

29-NOV-2013

# Seguimiento de características y flujo óptico

Slides S. Savarese: *Optical Flow and Tracking* <sup>a</sup>

---

<sup>a</sup>[http://www.eecs.umich.edu/vision/teaching/EECS442\\_2012/lectures/lecture17.pdf](http://www.eecs.umich.edu/vision/teaching/EECS442_2012/lectures/lecture17.pdf)

# Seguimiento de características y flujo óptico

## Otros modelos de movimiento

- Modelo translacional (LK)

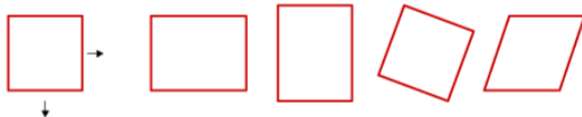
$$E(h) = \sum [I(x + h, t + 1) - I(x, t)]^2$$

$$h = (\delta_x, \delta_y)^T$$

- Modelo afín

$$E(A, h) = \sum [I(Ax + h, t + 1) - I(x, t)]^2$$

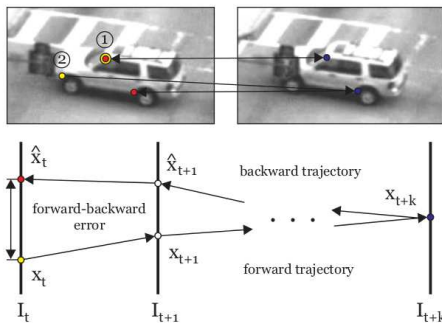
$$A = \begin{pmatrix} a & b \\ c & d \end{pmatrix}, \quad h = (\delta_x, \delta_y)^T$$



# Seguimiento de características y flujo óptico

## Detección de errores

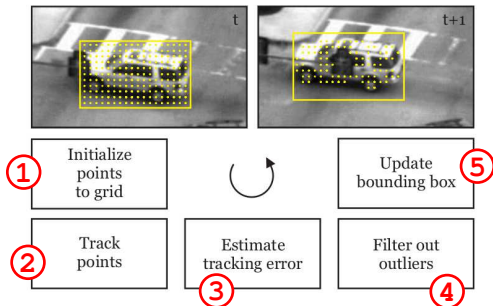
- ▶ Se puede obtener un score computando la similitud entre las ventanas centradas en el punto  $(x, y)$  y  $(x + u, y + v)$  usando, p.ej.: SAD, SSD, NCC, etc.
- ▶ *Forward-backward tracking<sup>a</sup>*



<sup>a</sup> Zdenek Kalal, Krystian Mikolajczyk, and Jiri Matas. "Forward-backward error: Automatic detection of tracking failures". In: ICPR. 2010

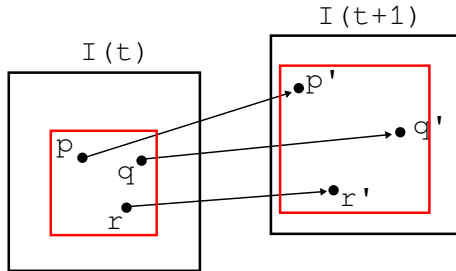
# Seguimiento de características y flujo óptico

Seguimiento de regiones: “median flow”



- ① Muestreo en grilla, aleatorio, etc.
- ② LKPyr sobre cada punto muestreado
- ③ Forward-backward, SDD, SAD, etc.
- ④ Ordenar por score / error y descartar el 50% menos confiable
- ⑤ Estimación robusta de  $\delta_x$ ,  $\delta_y$ ,  $\delta_{scale}$

- ▶  $\delta_x = \text{MEDIANA}(\text{coordenada-X de los inliers})$
- ▶  $\delta_y = \text{MEDIANA}(\text{coordenada-Y de los inliers})$
- ▶  $\delta_{scale}^2 = \text{MEDIANA}(\|p' - q'\|/\|p - q\| \text{ entre todos los pares})$



$$\delta_{scale} = \sqrt{\text{MEDIANA}\left(\frac{\|p' - q'\|}{\|p - q\|}, \frac{\|p' - r'\|}{\|p - r\|}, \frac{\|q' - r'\|}{\|q - r\|}\right)}$$

## Métodos densos

### Algoritmo de Horn-Schunck<sup>b</sup>

Se definen dos términos:

- ▶ El error de flujo óptico (“constancia de brillo”)<sup>a</sup>:

$$E_c = (I_x u + I_y v + I_t)^2$$

- ▶ Termino de regularización, para favorecer de soluciones “suaves”

$$E_s = (u_x^2 + u_y^2) + (v_x^2 + v_y^2)$$

El objetivo es minimizar el siguiente funcional:

$$E = \int \int_{\Omega} (E_c + \alpha E_s) dx dy$$

en donde  $\alpha$  es un parámetro (valores grandes dan lugar a soluciones mas suaves).

---

<sup>a</sup>Tener presente que:  $u = u(x, y)$  y  $v = v(x, y)$

<sup>b</sup>B. K. P. Horn and B. G. Schunck. “Determining Optical Flow”. In: *Artificial Intelligence* 17 (1981), pp. 185–203

$$E = \int \int_{\Omega} \underbrace{\left( I_x u + I_y v + I_t \right)^2}_{L} + \underbrace{\left( (u_x^2 + u_y^2) + (v_x^2 + v_y^2) \right)}_{Es} dxdy$$

Se puede resolver usando las ec. de Euler-Lagrange:

$$\frac{\partial L}{\partial u} - \frac{\partial}{\partial x} \frac{\partial L}{\partial u_x} - \frac{\partial}{\partial y} \frac{\partial L}{\partial u_y} = 0$$

$$\frac{\partial L}{\partial v} - \frac{\partial}{\partial x} \frac{\partial L}{\partial v_x} - \frac{\partial}{\partial y} \frac{\partial L}{\partial v_y} = 0$$

Lo que (luego de discretizar) resulta en el siguiente esquema iterativo:

$$u^{k+1} = \bar{u}^k - \frac{I_x \bar{u}^k + I_y \bar{v}^k + I_t}{\alpha + I_x^2 + I_y^2} I_x$$

$$v^{k+1} = \bar{v}^k - \frac{I_x \bar{u}^k + I_y \bar{v}^k + I_t}{\alpha + I_x^2 + I_y^2} I_y$$

donde  $\bar{u} = \bar{u}(x, y)$  es un promedio pesado de los valores de intensidad en torno a  $(x, y)$ .

- ▶ Sensible al ruido
- ▶ Presenta errores en las discontinuidades de los objetos
- ▶ Ejemplo de uso de *regularización* para selección de modelos en problemas “ill-posed”
- ▶ Muchas variaciones posibles

